

العزوم الطفيلي في المحركات الحثية أحادي الطور وتأثيرها على الضوضاء والاهتزازات الصادرة

عمر شرف الدين يحيى
مدرس مساعد / قسم الهندسة الكهربائية
جامعة الموصل

الملخص

يتناول هذا البحث تأثير قيمة متسعة التشغيل على أداء المحرك الحثي أحادي الطور ذي اللفيفتين وذلك من خلال دراسة تأثير العزوم الطفيلي ذات الطبيعة النبضية المترولة في المحرك وتأثيرها على الضوضاء والاهتزاز عند اختيار قيمة غير ملائمة لمتسعة التشغيل في المحرك الحثي أحادي الطور . تم في هذا البحث تحليلاً لإشارة الصوتية للمotor وكذلك إشارة الاهتزاز وإيجاد المركبة المترولة من العزم النبضي من تلك الإشارة الصوتية والذي تردداته يكون ضعف تردد المصدر . تم تحليلاً لهذه الإشارات حاسوبياً عن طريق أخذ الإشارة في مختبر عدم الصدى للحصول على أفضل قراءات والتخلص من الضوضاء المحيطة ، وبعد أخذ عدة عددة قيم لمتسعة التشغيل وتغيير قيمتها بدءاً من الصفر ووصولاً إلى 45 مايكروفاراد تم الحصول على أفضل متسعة تشغيل وهي بحدود 23 مايكروفاراد والتي تعطي أقل عزم نبضي ضار وأقل اهتزازاً وضوضاء وكذلك تأكيد لنتائج التي تم الحصول عليها في بحث سابق والتي تم إثبات هذه القيمة من المتسعة للحصول على أفضل قيمة من الكفاءة وعامل القدرة والعمد والقدرة الخارجية من المحرك .

الكلمات المفتاحية : "العزوم الطفيلي في المحرك الحثي أحادي الطور"

Parasitic Torques of single phase induction motors and its effect on the generated noise and vibration

Omar Sharaf AL-Deen Yehya
Assist . Lecturer / Electrical Engineering
University of Mosul

Abstract

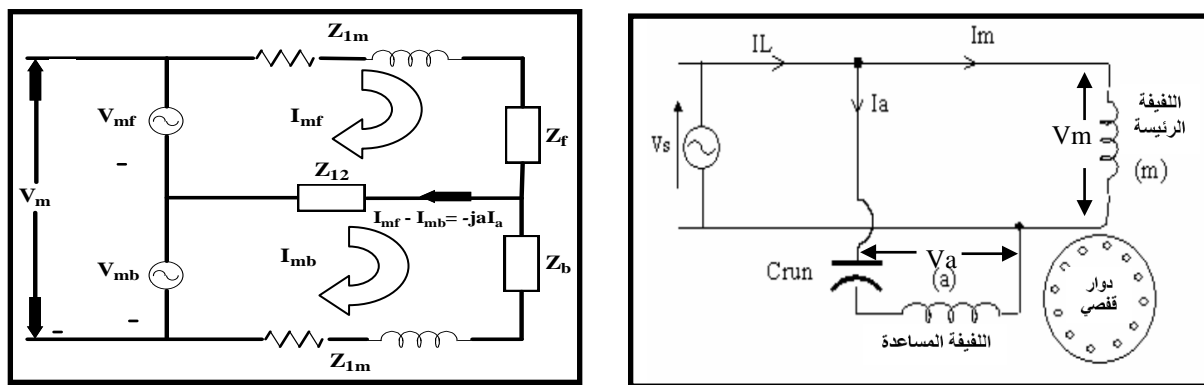
This Paper presents the effects of the Parasitic Torques in a single phase induction motor, on the Vibration and Noise that's generated from choosing unsuitable value of running capacitor. In this research a computer program has been developed of the motor Sound. The sound signal is measured by using a sound level meter and then it is transmitted to the computer through a data acquisition card and then the signal has been analyzed. In addition to that the Vibration signal has been analyzed. Experimental results has been obtained in the Anechoic Chamber Laboratory, It has been found that the optimum value of the running capacitor for this induction motor was $23\mu F$.This gives minimum Parasitic Torques whose frequency is twice the input source frequency, and therefore minimum noise and vibration caused by this Parasitic Torque has been obtained.

Key words: "Parasitic Toque for single phase induction motor"

1- المقدمة :

إن المحرك الحثي الأحادي الطور السعوي (single phase induction motor with running capacitor) يستخدم بشكل واسع في كثير من التطبيقات في العالم، وله فوائد كثيرة في الاستخدام، غير أن له بعض الصفات والخصائص غير الجيدة وغير المرغوب بها منها التشوه الحاصل في شكل الفيض والتيار المار في المحرك، وكذلك الضوضاء (Noise) والاهتزازات (Vibrations) والعزوم الطفيلي (Pulsating Torques) ذات الطبيعة النبضية أثناء العمل بالمقارنة مع المحرك الحثي الثلاثي الطور.

ن المحرك الحثي يستخدم في كثير من التطبيقات المنزليه والصناعية وذلك ل蔓انته وبساطة تركيبه وقله كلفته غير أن هذه المحركات تكتنفها بعض المشاكل والتي يمكن معالجتها في المحركات وخاصة التي تحتوي على متعددة تشغيل والذي يختلف أداءه عن المحرك الحثي الفقسي الثلاثي الطور المتماثل الذي يعمل من مصدر ثلاثي الطور متوازن، والسبب في ذلك يعود إلى وجود مجالين مغناطيسيين دوارين في الأول وجود مجال مغناطيسي دوار واحد في الثاني ويبيّن الشكل (1) المحرك الحثي الأحادي الطور ذو اللفيفتين مع متعددة التشغيل.



الشكل (2) الدائرة المكافأة لمحرك حثي أحادي الطور ذي متعددة تشغيل

الشكل (1) المحرك الحثي أحادي الطور ذي اللفيفتين مع متعددة التشغيل

إن وجود المجال الدوار العكسي في المحرك الحثي أحادي الطور يولد عزمًا معاكسًا للعزم الأمامي المطلوب الذي يتولد من المجال الأمامي، ويضاف إلى ذلك فإن تفاعل المجال الأمامي للساكن مع المجال العكسي للدوار وتفاعل المجال العكسي للساكن مع المجال الأمامي للدوار يولدان عزومًا طفيليًّا غير مرغوب فيها ترددتها ضعف تردد المصدر ومحيطتها صفرًا. ينتج عن ذلك اهتزازات يصحبها ضجيج وتكون حركة المحرك ليست سلسة على عكس ما يحصل في المحرك الثلاثي الطور المتوازن. ويبيّن الشكل (2) الدائرة المكافأة لمحرك حثي أحادي الطور ذي متعددة تشغيل [1] [2] [3].

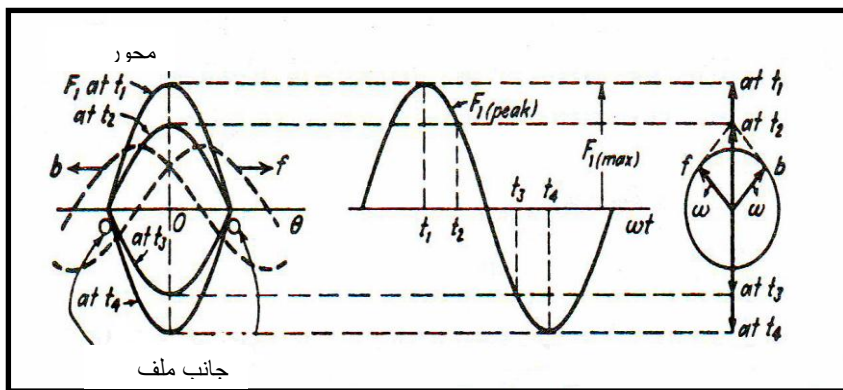
تم في هذا البحث تحليل الإشارة الصوتية للمotor الحثي أحادي الطور بالإضافة إلى إشارة الاهتزاز وذلك عن طريق جهازين الأول مقياس مستوى الصوت (sound level meter) والثاني مقياس الاهتزازات (vibration meter) ثم إدخال هذه الإشارات إلى الحاسوب عن طريق بطاقة الموائمة (data acquisition card) وأخذ تحويله فوريير السريع (FFT) (fast fourier transfer) لهذه الإشارة بعد تغيير قيمة المتعددة تدريجيًّا بدءًا من الصفر ووصولاً إلى 45 مايكروفاراد، وكذلك تم اخذ التيار الكلي للمotor أي التيار المسحوب من المصدر. من خلال النتائج وكما ستعرض لاحقًا تم إيجاد أفضل قيمة لمتعددة تشغيل والتي تعطي أقل عزم نبضي وأقل ضوضاء واهتزاز وكذلك أقل قيمة للتيار المسحوب من المصدر. وكانت النتائج متطابقة مع نتائج بحث سابق الذي استخدم فيه برنامج حاسوبي لإيجاد أفضل قيمة لمتعددة تشغيل والتي تعطي أفضل كفاءة وأقل اهتزازاً وكانت النتائج متطابقة من الناحية النظرية والعملية.

2- العزم الطفيلي والضوضاء والاهتزاز في المحرك الحثي أحادي الطور من الناحية الكهربائية:

يعتبر العزم النبضي في المحرك الحثي الأحادي الطور والضوضاء والاهتزاز من الأمور غير المرغوب فيها عادة وخاصة عند استخدام هكذا أنواع من المحركات في التطبيقات الصناعية والمنزلية. سيتم التطرق في هذا الجزء من البحث عن السبب الكهربائي لتوليد العزم النبضي ومن ثم الاهتزاز والضوضاء العالي للمotor، إن لفيفه الجزء الساكن في

حقيقها موزعة على عدد من الشقوب لتوليد قوة دافعة مغناطيسية (ق.د.غ) موزعة في الفراغ على شكل حبيبي تقريباً ومركزها محور الملف ، فإذا أهملت التوفيقيات الفراغية تصبح أل (ق.د.غ) (F1) تساوي:

حيث إن θ هي الزاوية الفراغية مقاسة من محور ملف الجزء الساكن ، وان $F_{1(\text{peak})}$ هي القيمة العظمى لموجة آل (د.غ) عند محور الملف وهي تتناسب مع القيمة الأصلية لتيار الجزء الساكن ، فإذا كان تيار الجزء الساكن متغيرا جيبيا مع الزمن فان $F_{1(\text{peak})}$ تتغير كذلك كما في الشكل (3) وكما في المعادلة التالية:



الشكل (3) موجات آل ق.د.غ في محرك حتى أحادي الطور

إذ أن w هي السرعة الزاوية المصدر

يتضح من ذلك أن موجة (ق.د.غ) للجزء الساكن ساكنة في الفراغ ولكن قيمتها متغيرة جيبياً مع الزمن ويمكن تحليل هذه الموجة إلى موجتين دوارتين في الفراغ قيمتاها ثابتان مع الزمن وهاتان الموجتان تدوران باتجاهين متعاكسين عند السرعة التزامنية وكما مبين في المعادلة التالية :

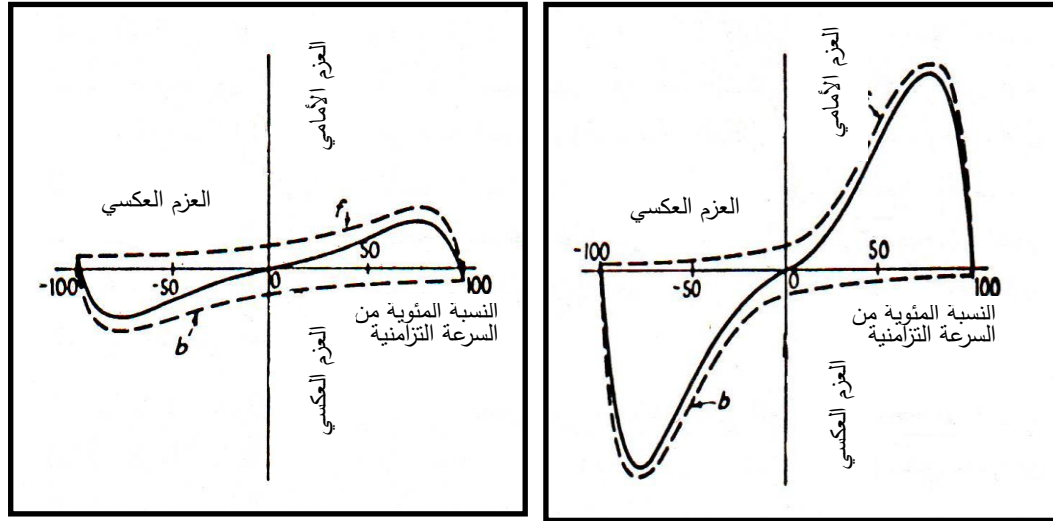
$$F_1(t, \theta) = \frac{1}{2} F_{1(\max)} \cos(\theta - w_s t) + \frac{1}{2} F_{1(\max)} \cos(\theta + w_s t) \dots \quad (4)$$

إن كل حد يمثل دالة للزاوية الفراغية θ وزاوية طورية زمانية w_{st} وإن قيمة الذروة لكل منها هي نصف أعظم اتساع للموجة النبضية، ويقع مركز الموجتين على محور اللفيفة للجزء الساكن عند اللحظة التي تكون فيها موجة آل (ق.د.غ) للجزء الساكن في قيمتها العظمى، وتمثل الزاوية w_{st} دوران كل موجة حول الفجوة الهوائية بالسرعة الزاوية الثابتة w زاوية نقية كهربائية لكل ثانية، وتدور الموجتان باتجاهين متعاكسين فالموجة الأولى التي تضم ($\theta - w_{st}$) تسير باتجاهين الأمامي ل(θ) والموجة الثانية التي تضم ($w_{st} + \theta$) تسير بالاتجاه العكسي ل(θ)، إن مركبات المجال الدوار العكسي في حالة اللفائف متعددة الأطوار المتوازنة تلغى أحدهما الأخرى ولا يبقى إلا المركبات الأمامية أما في حالة وجود لفيفة ذات طور واحد فكلتا المركبتين الأماميتين والخلفية موجودتان بطبيعة الحال.

إن كلا من مركبتي آل (ق.د.غ) تولد عزما حثيا مركبا إلا أن العزمين التابعين يكونان باتجاهين متعاكسين فإذا كان الجزء الدوار ساكنًا فأن موجتي المجال المغناطيسيي الأمامية والخلفية المتولدين من مجموع آل (ق.د.غ) لتيارات الجزء الدوار والجزء الساكن متساوين وكما مبين في الشكل (4)، وبذلك تكون مركبنا العزمين متساوين. أما عند دوران الجزء الدوار فأن كلا من مركبتي المجال تنتج خصائص السرعة مع العزم مشابهة للمحرك متعدد الأطوار بإهمال الممانعة التسريرية للجزء الساكن وكما مبين في الشكل (5).

إن فرضية بقاء مرکبتي المجال متساویتين عند دوران المحرك هي فرضية مبسطة للحالة الحقيقة ، إن تيارات الجزء الدوار المتولدة من المجال العکسی في حالة دوران المحرك هي أعظم منها في حالة وقوفه كما أن عامل قدرته أقل

لذا إن (ق.د.غ) الناتجة من هذه التيارات والتي تعاكس تلك الناتجة من تيارات الجزء الساكن تؤدي إلى نقصان موجة المجال العكسي ولكن يبقى مجموعهما ثابتا تقريبا إذا كان هبوط الفولتية على ممانعة الساكن قليلا، حيث ينبع في المحرك الحثي أحادي الطور بالإضافة إلى العزوم الموضحة في الشكل (4) و (5) عزما نبضيا بتردد يعادل ضعف تردد المصدر وهذا العزم النبضي ناتج من تفاعل موجتي المجال الدوار و (ق.د.غ) المنزلاقاتين على بعضهما بسرعة تعادل ضعف السرعة التزامنية ، ولا ينبع عن هذا التفاعل عزما باتجاه واحد ولكنه يؤدي إلى جعل المحرك أكثر ضجيجا وضوضاء واهتزازا من المحرك متعدد الأطوار ولا يمكن تجنب مثل هذا العزم النبضي في المحرك الحثي أحادي الطور بسبب الفترة الآتية النبضية المرافقة لدائرة أحادي الطور ، ولكن يمكن تقليلها عند إيجاد قيمة ملائمة من متعددة التشغيل للمحرك [4] [5].



الشكل (5) التغير في المجالين الأمامي والعكسي

الشكل (4) تساوي المجالين الأمامي والعكسي أثناء الدوران

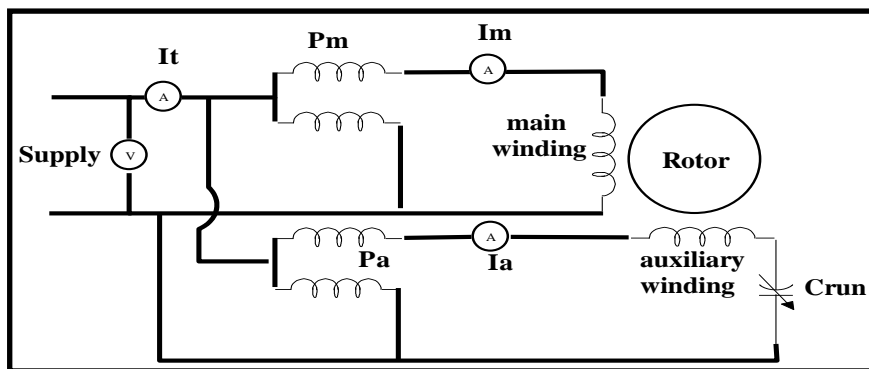
3- العزم النبضي والضوضاء والاهتزاز في المحرك الحثي أحادي الطور من الناحية الميكانيكية:

إن السبب في توليد العزم النبضي والضوضاء والاهتزازات في المحرك الحثي أحادي الطور هو وجود مجالين دوريين متعاكسين وهذا ما تم ذكره مسبقاً كحالة كهربائية ، أما في هذا الجزء فسيتم التطرق إلى بعض المشاكل الميكانيكية التي قد تحصل للماكينة وبالتالي قد تؤدي إلى ظهور الضوضاء والاهتزازات ، ومن هذه الأمور التي قد تؤدي إلى زيادة في الضوضاء والاهتزاز لأن تكون هناك مشكلة في كراس التحميل للمotor (Bearing) أو في التعشيق (Coupling) أو في كراسى الوران (Bearing of Rotation) أو هناك مشكلة في قلب الدوار (Rotor Core) أو في المروحة كان تكون غير منتظمة (Non Uniform Shape) أو عدم توازن الدوار (Unbalance Rotor) الخ....

تحدث الاهتزازات والضوضاء بسبب كسر احد توصيلات الدوار (Broken Rotor Bars) أو فقدان احد الموصلات (Loss Bars) أو عطل داخلي (In Phase Fault) أو عطل ارضي (Ground Fault) أو عدم توازن الفولتية (Unbalance Line Voltage) وكذلك الزيادة المفاجئة في الأحمال والاحتكاك الداخلي ، إن آل ق.د.غ المتولدة تختلف شكلاً وتتأثراً في المحرك الحثي أحادي الطور عند حدوث الأعطال الميكانيكية من نوع ما لأن تكون هناك مشكلة في قلب الدوار (Rotor Core) وغيرها وبالتالي تشهو وتغير في شكل آل ق.د.غ المتولدة والتي لها تأثير مباشر على العزم النبضي المتولد ومركباته [7] [8] .

4- القيمة المثلث من متعددة التشغيل للمحرك الحثي أحادي الطور:

تحتلت القيمة المثلث لمتسعة التشغيل من محرك آخر وحسب قدرة المحرك وكما هو معلوم فإن قيمة متعددة التشغيل لا يمكن حسابها رياضيا بل يمكن إيجادها عملياً مختبريا ، ويكون هذا النوع من المتعدلات من النوع ذي الورق المشرب بالزيت وتحمّل ظروف تشغيل طويلة الأمد وتكون صغيرة الحجم والقيمة وفي هذا البحث تم العمل مختبرياً على محرك حثي أحادي الطور ذي قدرة 1 كيلو واط ويعمل بفولتية 220 فولت وتردد 50 هرتز وتيار مفزن 5.7 أمبير ، وبعد تسلیط الحمل التام على المحرك وإضافة قيم متعددة التشغيل بدءاً من الصفر ووصولاً إلى 45 ميكروفاراد وكما مبين في الشكل (6) الدائرة العملية لتغيير قيمة متعددة التشغيل .



الشكل (6) يمثل الدائرة العملية لتغيير قيمة متعددة التشغيل

يلاحظ من الجدول (1) انه هناك زيادة في قيمة المركبة المترددة من العزم النبضي وكذلك حصول زيادة في كل من الاهتزاز والضوضاء والتيار المسحوب من المصدر في بادئ الأمر وبعد التدرج في زيادة قيمة المتعددة ووصولا إلى متعددة بحدود 23 مايكروفاراد تم ملاحظة النقصان الحالى في كل من المركبة المترددة من العزم النبضي والاهتزاز والضوضاء عند هذه القيمة من متعددة التشغيل ثم بدا بالزيادة ثانيا، حيث يلاحظ انه حصل انخفاض في المركبة المترددة من العزم النبضي بنسبة كبيرة حتى قد وصلت إلى ربع القيمة التي كانت عليها وكذلك قل الاهتزاز والضوضاء للمحرك عند تلك القيمة من المتعددة وبالتالي أمكن الحصول على محرك هادئ ونتائج أفضل من ناحية سحب التيار من المصدر. تم اخذ جميع القيم أعلاه في مختبر عديم الصدى للحصول على أفضل محيط لتسجيل الصوت والاهتزازات بجعل الضوضاء المحيطة قريباً من الصفر داخل هذا النوع من المختبرات.

الجدول (1) تغير الضوضاء والاهتزازات مع متعددة التشغيل

C (μf)	Noise due to Pulsating torque (db) الضوضاء الناتجة من العزم النبضي عند (100Hz)	Vibration (μm peak - peak) الاهتزاز الكلي	Noise Level (db) الضوضاء الكلية	It(A)
0	33.3	42.3	72	5.5
9	19.4	41.6	71	4.8
18	8.63	38.1	69.5	4.3
23	7.13	37.7	69.5	4
27	7.63	39	72.1	3.9
36	15.57	44	74	4.2
45	28.11	50	75	4.7

5- تحليل إشارة الصوت والاهتزاز :

إن الغاية الأساسية من البحث هي دراسة وتحليل الإشارة الصوتية وقياس مستوى شدة الصوت والاهتزاز (Vibration & Sound Level) للmotor الحثي أحادي الطور ذي متعددة تشغيل من خلال التطبيق العملي والبرامج الحاسوبية على المحرك في تحليل الإشارة الصوتية له. والمحرك الحثي الذي تم اختياره ذو المواصفات المذكورة أعلاه هو لبيان صحة هذه الفكرة والطريقة في التحليل لإيجاد أفضل متعددة تشغيل من خلال مراقبة الإشارة الصوتية للmotor.

من خلال الاطلاع على الدراسات والبحوث تبين أن من أفضل الطرق في الكشف عن الأعطال والمشكلات في عمل الماكينة الحثية هي عن طريق قياس شدة الصوت والاهتزازات للماكينة أثناء العمل وهذا ما تم إجراءه، فتبليورت فكرة البحث في الكشف عن العزوم الطفيلي المترددة في المحرك الحثي أحادي الطور والذي ترددتها هو ضعف تردد المصدر وسبب نشأتها والطريقة العملية لقليلها عند اختيار قيمة متعددة تشغيل والتي أعطيت بالنتيجة أقل ضوضاء واهتزاز وكذلك أقل تيار مسحوب من المصدر وهذا ما تم إثباته. تم أخذ الإشارة الصوتية للmotor عن طريق جهاز مقياس مستوى الصوت (sound level meter) وأخذت إشارة الاهتزاز عن طريق جهاز مقياس الاهتزاز (vibration meter model 205).

تم أخذ قيمة تيار الإدخال للmotor عن طريق (current sensor) وربط تلك المقاييس وأخذ إشاراتها إلى الحاسوب عن طريق بطاقة الموائمة (data acquisition card) واستخدام برنامج حاسوبي ضمن برمجيات (Matlab) لإجراء عملية تحويله فوري السريع للإشارة الدالة لكل من الصوت والاهتزاز وعرض النتائج، إن النتائج التي

تم التوصل إليها في الجدول (1) هي مأخوذه من الجزء العلوي عند تشغيل المحرك الحثي أحادي الطور ذي متعددة التشغيل مختبريا .

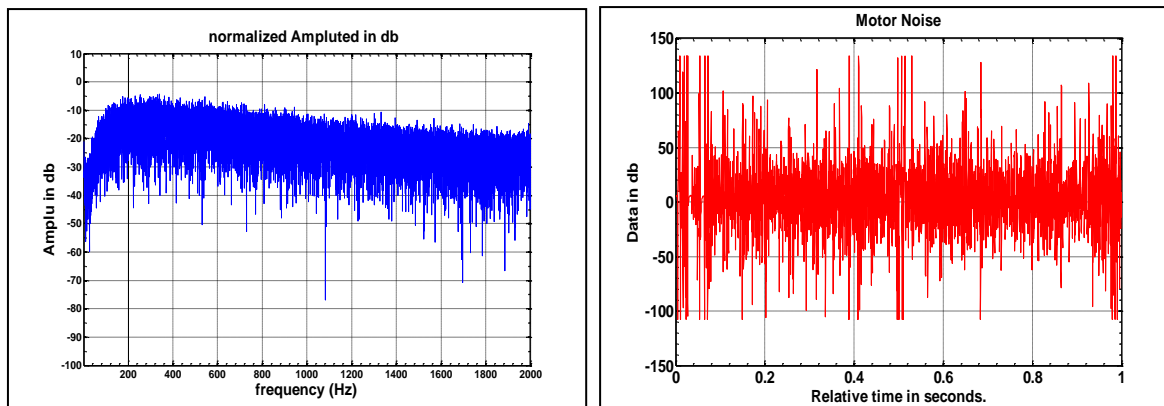
تم تغير قيمة متعددة التشغيل ضمن مراحل التشغيل المختلفة بدأ من الصفر ووصولا إلى قيمة متعددة 45 مايكروفاراد ومن مراقبة الإشارة الصوتية في حيز الزمن للمحرك الحثي تم استخدام متخصص صوتي ذو مدیات تردیدية مختلفة وتنسمى هذه التقنية بالانبعاث الصوتي، وبعد إدخال الإشارة إلى الحاسوب عن طريق المنافذ لبطاقة المواجهة (Data Acquisition Card) وتحليلها ببرامج حاسوبية والكشف عن المركبات الناتجة من العزم النبضي عند التردد 100 هرتز لأن العزم النبضي المتولد هو ضعف تردد المصدر الذي تردد هو 50 هرتز ، فكانت الدراسة والبحث حول هذا التردد (100 هرتز) وتم التأكد أثناء أخذ القراءات إن تردد المصدر دائماً 50 هرتز لأن التحليل كان دائماً (On Line) ولتوخي الدقة في النتائج كانت دائماً المراقبة لتردد المصدر ، وبعده يتم تحليل الإشارة وإيجاد الضوضاء المتولدة من العزم النبضي ، وإن قيمة الاهتزاز الكلي للماكنة الحثية عند تغيير قيمة متعددة التشغيل أثناء العمل تم أخذه عن طريق جهاز (Vibration meter Model 205).

تم قياس مستوى شدة الصوت بواسطة جهاز (Digital Sound Level Meter) وأخذ إشارة سرعة الاهتزاز للمحرك (Velocity of Vibration) لما لها من أهمية عملية في المحرك الحثي أحادي الطور أثناء الاستخدام والعمل وكانت النتائج كما موضحة في الجدول (2) حيث تبين القراءات أنه تم الحصول على أقل قيمة لسرعة اهتزاز المحرك عند متعددة تشغيل للمحرك الحثي وقدرها 23 مايكروفاراد. تم تحليل الإشارات في جميع الحالات المختلفة من قيم متعددة التشغيل وعند التردد 100 هرتز وإيجاد آل (FFT) لها.

الجدول (2) سرعة الاهتزاز وتحليل فوري (FFT) للإشارة مع تغيير متعددة التشغيل

C(μ f)	Peak Value Vibration Velocity (mm/sec) سرعة الاهتزاز	R.m.s Velocity (mm/sec peak)	FFT from Velocity at(100Hz) تحليل فوري لسرعة الاهتزاز عند (100 هرتز)
0	3.41	2.411	0.561
9	3.346	2.365	0.535
18	3.01	2.128	0.493
23	2.87	2.02	0.425
27	3.31	2.34	0.494
36	3.666	2.59	0.502
45	4.33	3.06	0.591

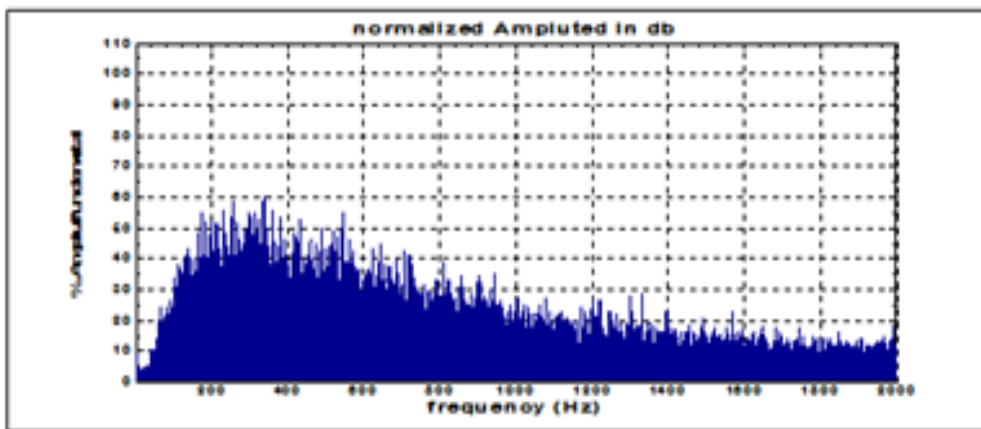
يبين الشكل (7) الإشارة الصوتية للمحرك عند عدم وجود متعددة تشغيل أي عندما تكون قيمتها صفراء ويمثل صوت الماكنة لإشارة صوتية في حيز الزمن عند تشغيل المحرك الحثي أحادي الطور ، تم إدخال هذه الإشارة إلى الحاسوب وتحليلها وأخذ الطيف الترددي لها وكذلك (FFT) فالإشارة في الشكل (7) هي في حيز الزمن (Second)، أما الشكل (8) فيبين المركبة المتولدة من العزم النبضي عند عدم وجود متعددة تشغيل وعند إجراء التحليل عليها (FFT) ولكن العزم



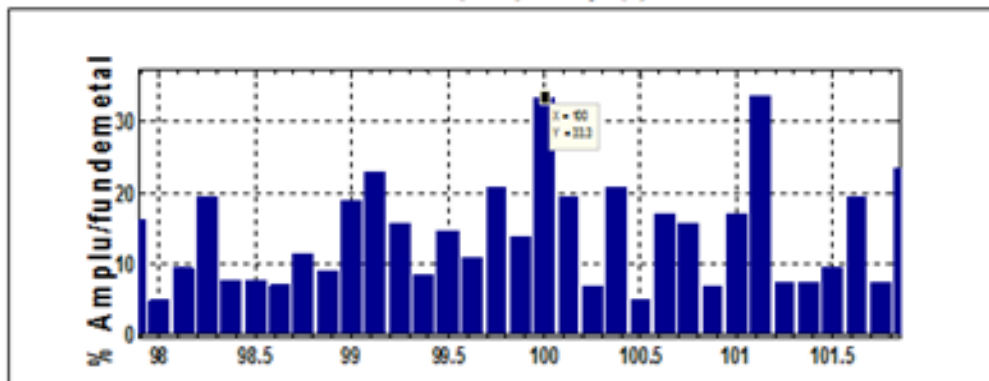
الشكل (8) المركبة المتولدة من العزم النبضي عند إجراء التحليل عليها (FFT)

الشكل (7) الإشارة الصوتية للمحرك في حيز الزمن

النبضي ذو تردد 100 هرتز ولكن الموضوعة الموجودة في الوسط ضمن المدى الترددي فانه أفضل تقنية هو اخذ الطيف الترددي للمركبة المتولدة للإشارة الصوتية للعزوم النبضي ذي تردد 100 هرتز، ثم بعد اخذ القيمة المطلقة للطيف الترددي للمركبة المتولدة من العزم النبضي وهذا ما أشار إليه الشكل (9) الذي يبين الإشارة بعد اخذ القيمة المطلقة لها وتمثل الترددات كمستويات لسهولة قراءتها وملحوظتها ، وإن الشكل (10) يوضح فيه كيف تم تكبير (zooming) لإشارة التحليل الصوتي للمحرك لإيجاد المركبة المتولدة من العزم النبضي عند تردد 100 هرتز عندما كانت متعددة التشغيل صفرًا وبما إن قيمة التردد للعزوم النبضي هو 100 هرتز فتم تحديد من خلال إشارة القطع في البرنامج أن يكون التردد إلى حدود 2000 هرتز في الرسم ومن ثم اخذ الجزء المطلوب من الإشارة ضمن مدى تردد العزم النبضي واحتساب قيمة المركبة المتولدة منه وعمل (zooming) لتلك الإشارة كما موضح في الشكل (10).



الشكل (9) الإشارة (FFT) بعد اخذ القيمة المطلقة لها



الشكل (10) تكبير لإشارة التحليل الصوتية لإيجاد المركبة المتولدة من العزم النبضي
عند تردد 100 هرتز عندما ($C = 0$)

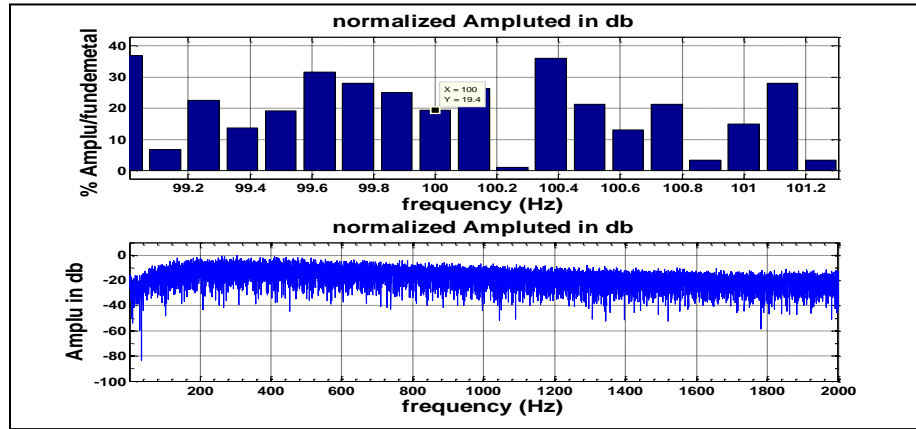
إن طريقة مراقبة سرعة الاهتزاز للماكنة هو من أشهر الطرق والتقنيات الحديثة التي تستخدم لأجل الكشف عن الأخطاء والأعطال داخل الماكنة الحديثة إثناء العمل ، وان أساس عمل هذه التقنية إما بقياس شدة الاهتزاز للماكنة ومقارنته مع المعايير العالمية أو من خلال مراقبة إشارة سرعة الاهتزاز في حيز الزمن أو مراقبة الطيف الترددي للإشارة ، تم اخذ قيم سرعة الاهتزاز (Velocity of Vibration) للماكنة بواسطة جهاز (Model 205 Vibration meter) ، عند التعامل مع الإشارة الصوتية للماكنة في حيز الزمن يتم تحليلها واخذ الطيف الترددي للمركبات الموجودة داخل هذه الإشارة بعد استخدام تحويله (FFT Fast Fourier Transfer) وتردد إدخال القطع (Sampling Frequency) هو

$$Fs = 4096 \text{ Hz} \quad \text{وعدد العينات (Number of Sampling)} \quad N_s = 2 \times 16384$$

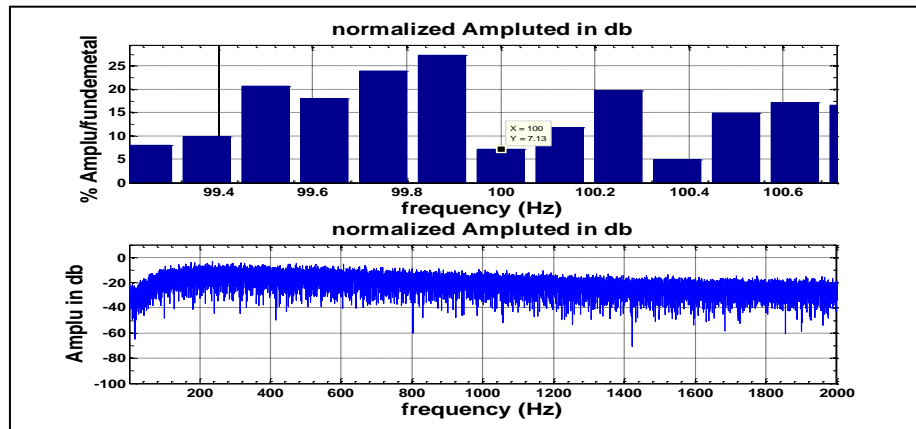
من خلال ملاحظة الإشكال (11)(12)(13) لقيم متعددات تشغيل (36,23,9) مايكروفارد يتبيّن أن قيمة المركبة المتولدة من العزم النبضي في المحرك الحثي أحادي الطور عند قيم مختلفة من متعددة التشغيل وكيف انه يصل إلى أكثر من أربعه أضعاف قيمته كما في قيمة متعددة تشغيل (36) مايكروفارد عند عدم اختيار القيمة المناسبة من متعددة التشغيل للمحرك .

عند إجراء الاختبار تم التأكد من قيمة تردد المصدر والذي هو 50 هرتز لأن تحليل الإشارة الصوتية المأخوذة دانما كانت في وضع (on Line) أثناء العمل وكان لابد التثبت من هذا الأمر لأن أي زيادة أو نقصان يختلف لدينا قيمة العزم النبضي المتولدة في الماكينة، ومن خلال الشكل (12) يلاحظ وصول المركبة المتولدة من العزم النبضي إلى أقل قيمة عند متقطعة قيمتها 23 ميكروفاراد وعند تردد 100 هرتز.

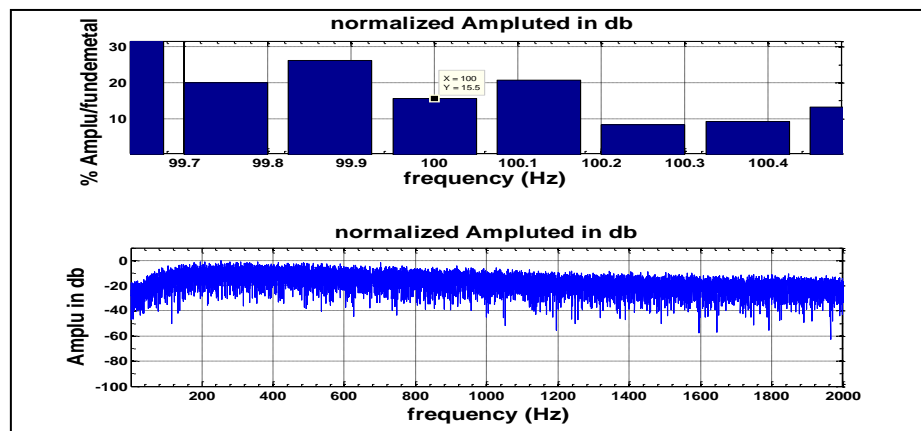
لابد من الشارة هنا انه قد تظهر ترددات في الماكينة لأسباب ليس لها علاقة بالعزم النبضي بل قد تكون أسباب أخرى منها على سبيل المثال تظهر ترددات (107, 112, 97) هرتز بسبب تكسر المحامل للمحرك وكذلك 88 هرتز لطبع الحلقات الخارجية.



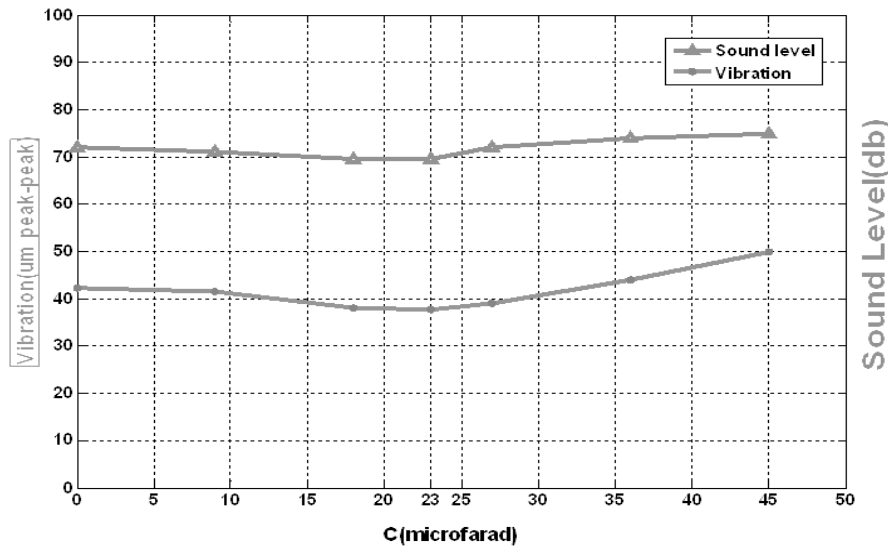
الشكل (11) تكبير لإشارة التحليل الصوتية لإيجاد المركبة المتولدة من العزم النبضي
عند تردد 100 هرتز عندما ($C = 9\mu\text{f}$)



الشكل (12) تكبير لإشارة التحليل الصوتية لإيجاد المركبة المتولدة من العزم النبضي
عند تردد 100 هرتز عندما ($C = 23\mu\text{f}$)



الشكل (13) تكبير لإشارة التحليل الصوتية لإيجاد المركبة المتنولة من العزم النبضي عند تردد 100 هرتز عندما ($C = 36\mu F$)
عند رسم كل من قيم الضوضاء والاهتزاز المدرجة في الجدول (1) وجد انه اقل قيمه لهم جميعا هي عند متسبة تشغيل قدرها 23 مايكروفاراد وكما يبينه الشكل (14).



الشكل (14) الضوضاء والاهتزاز للمحرك الحثي
عند قيم متسبة تشغيل مختلفة

6- الاستنتاجات:

من خلال النتائج التي تم الحصول عليها وأشكال إشارة الصوت والاهتزاز والتيار للمحرك الحثي أحادي الطور ذي متسبة التشغيل والتي تم عرضها يلاحظ انه عند اختيار قيمة غير ملائمة من متسبة التشغيل فإن لهذه المتسبة تأثير كبير على أداء المحرك من ناحية سحب تيار من المصدر وكذلك الضوضاء والاهتزاز والعم النبضي الضار للماكنة والذي قد يصل إلى أربعة أضعاف قيمته فيما لو تم اختيار قيمة غير ملائمة من متسبة التشغيل.

ومن خلال البحث وتحليل الإشارة تم الكشف عن أن أفضل قيمة لمتسبة التشغيل لهذا المحرك هي بحدود 23 مايكروفاراد ، جاءت هذه النتيجة امتدادا واستكمالا لبحث سابق الذي أثبتنا فيه أن هنالك قيمة مثلثي لمتسبة التشغيل للحصول على أفضل كفاءة وعامل قدرة للمحرك .

هذه النتيجة هي ذاتها التي أثبتناها في هذا البحث لتعزيز استنتاجنا في الحصول على اقل ضوضاء واهتزاز والحصول على محرك هادي نسبياً وذي كفاءة وعامل قدرة جيدين عند اختيار قيم ملائمة من متسبة التشغيل للمحرك الحثي أحادي الطور وبين تأثير العزوم الطفيليّة الغير مرغوب فيها في المحرك الحثي أحادي الطور عند اختيار قيم غير ملائمة من متسبة التشغيل .

المصادر

- 1- Charles Kingsley , “ ELECTRICAL MACHINERY ” , Sixth Edition 2003 , The McGraw-Hill Companies , Handbook.
- 2- Jacek F. Gieras . Chong Wang. Joseph Cho Lai,“Noise of Poly-phase Electric Motors”.2006 Taylor & Francis Group, LLC. Handbook.
- 3- E.Muljadi , Y. Zhao.” Adjustable Ac Capacitor for a single phase induction motor”.IEEE.Trans.Ind.Appl.V.29,pp.479-485,1993.

4- مکانن التیار المتناوب تأليف الأستاذ الدكتور باسل محمد سعید والدكتور ضياء علی بشیر النعمة.
مديريه دار الكتب للطباعة والنشر, جامعة الموصل.(1989)

5- S.Vaez-Zadeh , H. Langari." High Average – Low Pulsating Torque Operation of single phase induction motor".IEEE.Trans.2000.

6- Lieven Vandevelde, Claus B. Rasmussen and A.A. Melkebeek " Numerical Analysis of Magnetic Noise and Torque Ripples of Spilt – Phase induction motor ". IEEE. Trans .2008.

7- Sebastiao Lauro Nau , Hugo Gustavo Gomez." Acoustic Noise In induction motor: Causes AND Solution".IEEE.Trans.PCIC-2000-26.

8- William R. Finley , Mark M. Hodowanec , Warren G.Holter." An Analytical Approach to Solving Motor Vibration Problems".IEEE.PCIC-99-20.1999.

9- Dhiya AL-Nimma , Omar Sharaf Al-Deen , "Performance Analysis of a single phase induction motor For Different values of running Capacitor " journal of Tikreet Engineering ,2010.

تم اجراء البحث في كلية الهندسة = جامعة الموصل